

# Teil 2: Approximationsalgorithmen



**Geg:** Punktmenge  $P = \{p_1, \dots, p_n\}$ , Menge rechteckiger Label  $L = \{l_1, \dots l_n\}$  mit Höhe 1 und variabler Breite

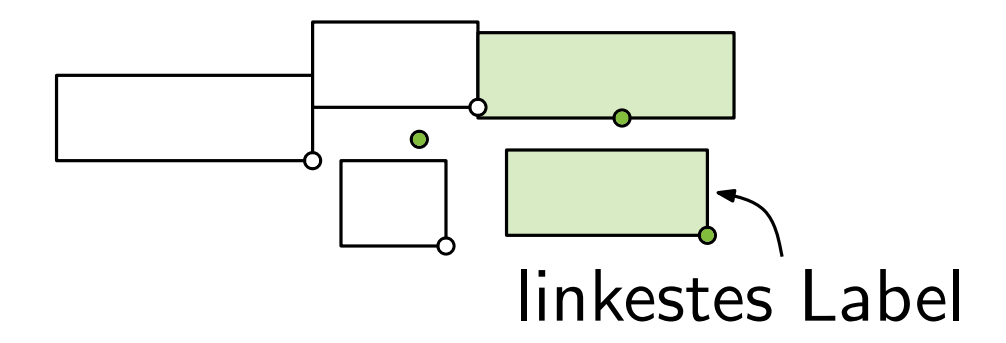
Modell: 4-Slider



**Geg:** Punktmenge  $P = \{p_1, \dots, p_n\}$ , Menge rechteckiger Label  $L = \{l_1, \dots l_n\}$  mit Höhe 1 und variabler Breite

Modell: 4-Slider

**Def:** Für eine Menge P' von Punkten mit bereits platzierten Labeln heißt ein Label l für einen Punkt  $p \in P \setminus P'$  linkestes Label, falls seine rechte Kante unter allen noch konfliktfrei platzierbaren Labeln am weitesten links liegt.





**Geg:** Punktmenge  $P = \{p_1, \dots, p_n\}$ , Menge rechteckiger Label  $L = \{l_1, \dots l_n\}$  mit Höhe 1 und variabler Breite

Modell: 4-Slider

**Def:** Für eine Menge P' von Punkten mit bereits platzierten Labeln heißt ein Label l für einen Punkt  $p \in P \setminus P'$  linkestes Label, falls seine rechte Kante unter allen noch konfliktfrei platzierbaren Labeln am weitesten links liegt.

Algorithmus Greedy4S(P,L)

**while** linkestes Label l existiert **do** platziere l linkest möglich

**Lemma 1:** Greedy4S berechnet eine Faktor- Approximation.

Versuchen Sie den Approximationsfaktor zu bestimmen!



**Geg:** Punktmenge  $P = \{p_1, \dots, p_n\}$ , Menge rechteckiger Label  $L = \{l_1, \dots l_n\}$  mit Höhe 1 und variabler Breite

Modell: 4-Slider

**Def:** Für eine Menge P' von Punkten mit bereits platzierten Labeln heißt ein Label l für einen Punkt  $p \in P \setminus P'$  linkestes Label, falls seine rechte Kante unter allen noch konfliktfrei platzierbaren Labeln am weitesten links liegt.

Algorithmus Greedy4S(P,L)

**while** linkestes Label l existiert **do** platziere l linkest möglich

Lemma 1: Greedy4S berechnet eine Faktor-1/2 Approximation.

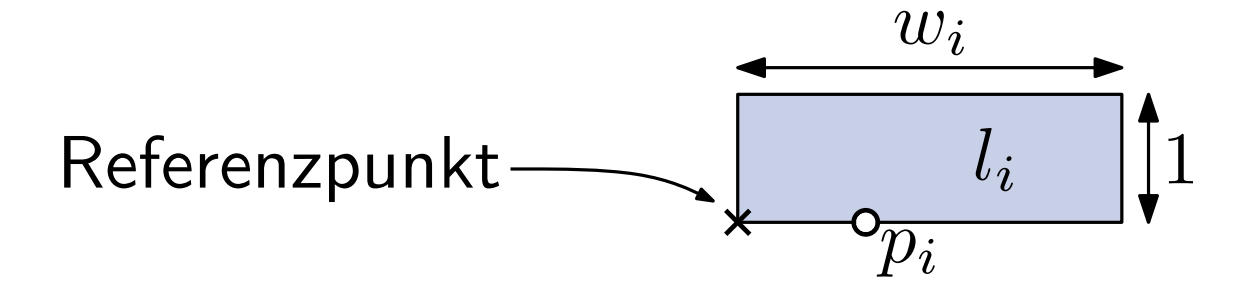
#### Laufzeit



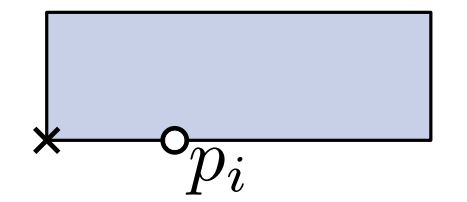
Eine naive Implementierung von Greedy4S benötigt  $\mathcal{O}(n^3)$  Zeit.

**Ziel:** Nutze geeignete geometrische Datenstrukturen um die Laufzeit auf  $O(n \log n)$  zu senken.

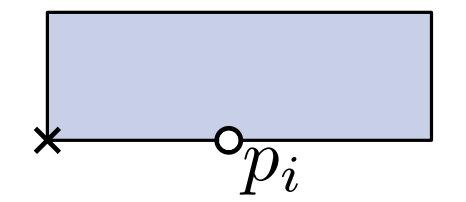




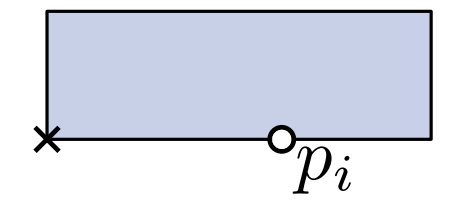




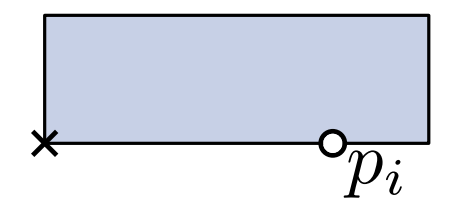
















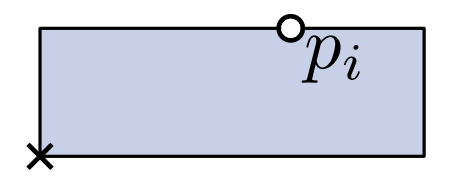




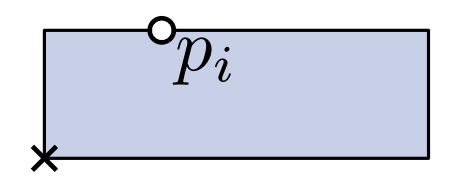




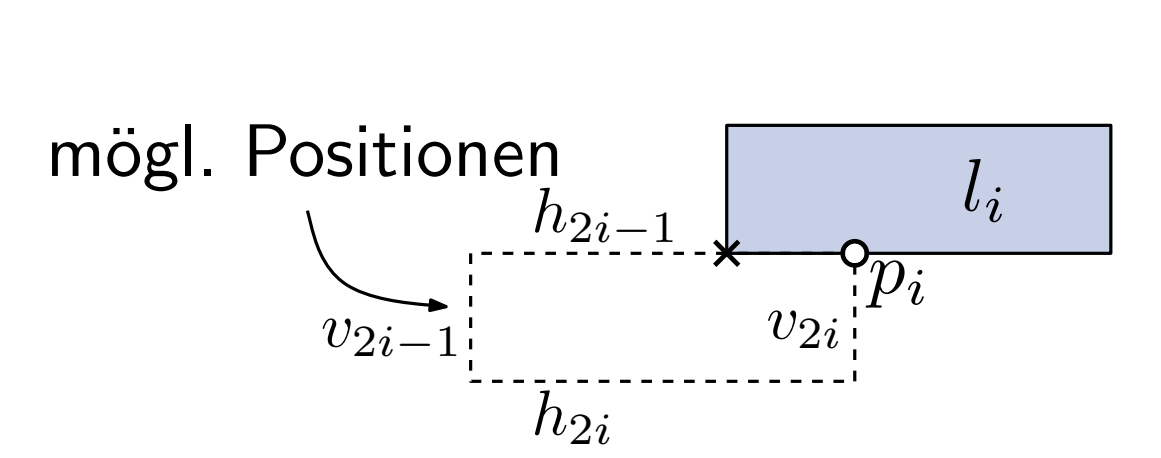




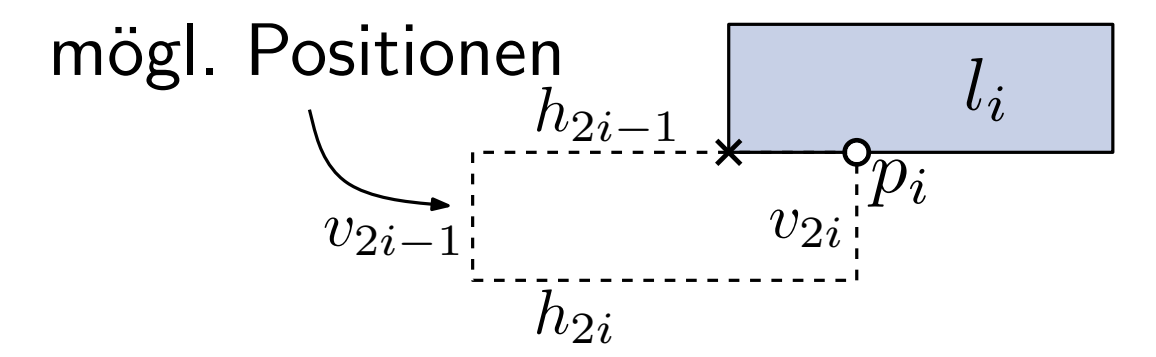


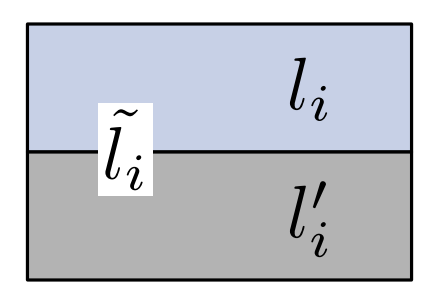








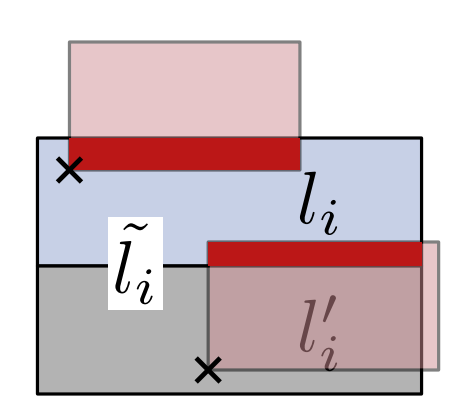




Label  $l_i$  und erweitertes Label  $\tilde{l_i}$ 

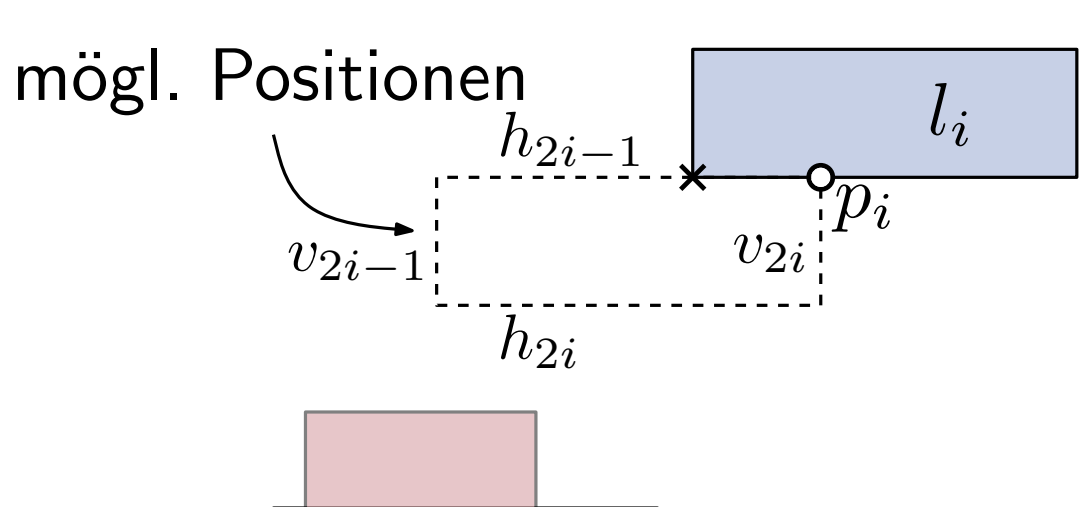


mögl. Positionen  $h_{2i-1}$   $v_{2i}$   $p_i$   $h_{2i}$ 



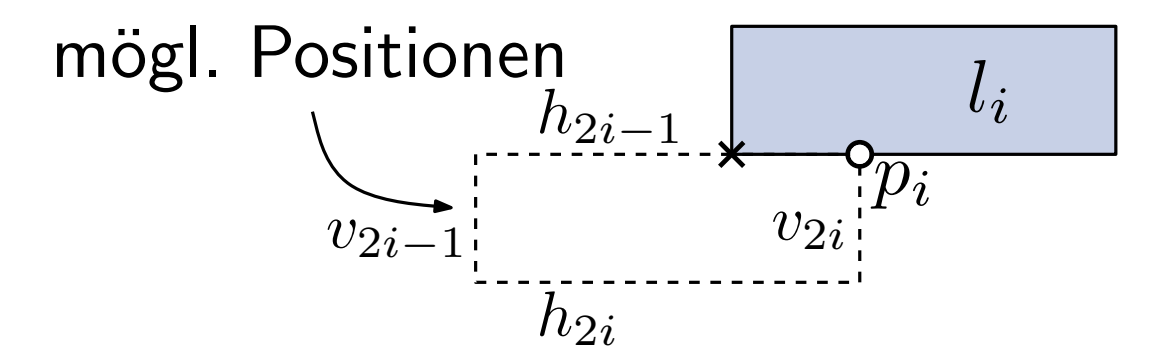
Label  $l_i$  und **erweitertes Label**  $l_i$  kein Referenzpunkt darf in  $\tilde{l_i}$  liegen

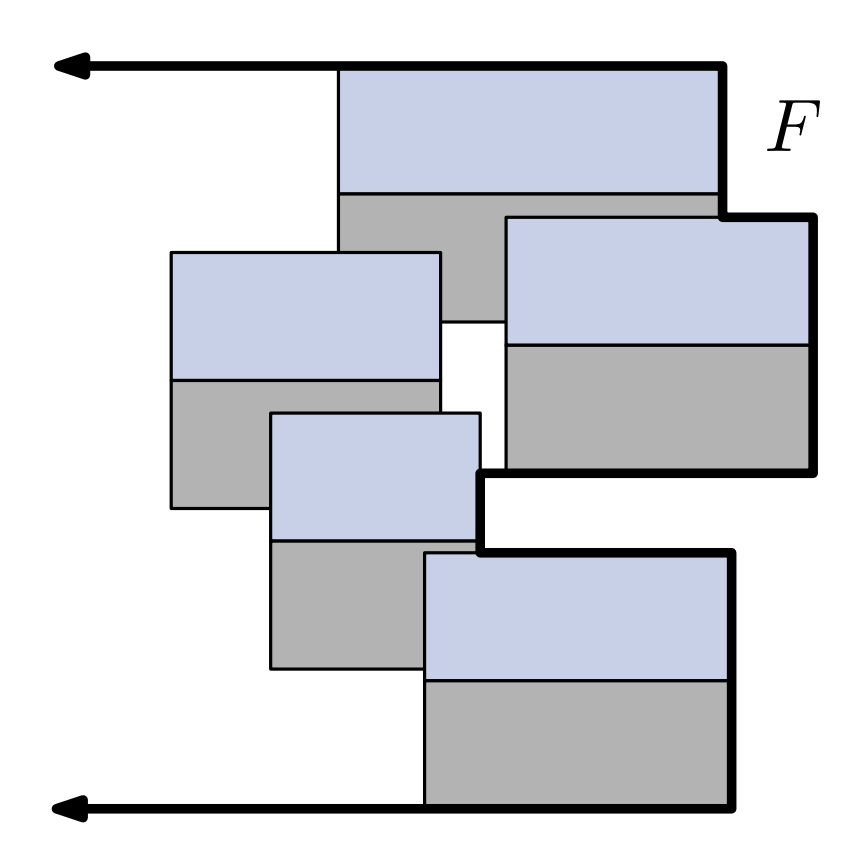




Label  $l_i$  und erweitertes Label  $\tilde{l_i}$  kein Referenzpunkt darf in  $\tilde{l_i}$  liegen da immer linkestes Label platziert wird, kein Referenzpunkt links von  $\tilde{l_i}$ 





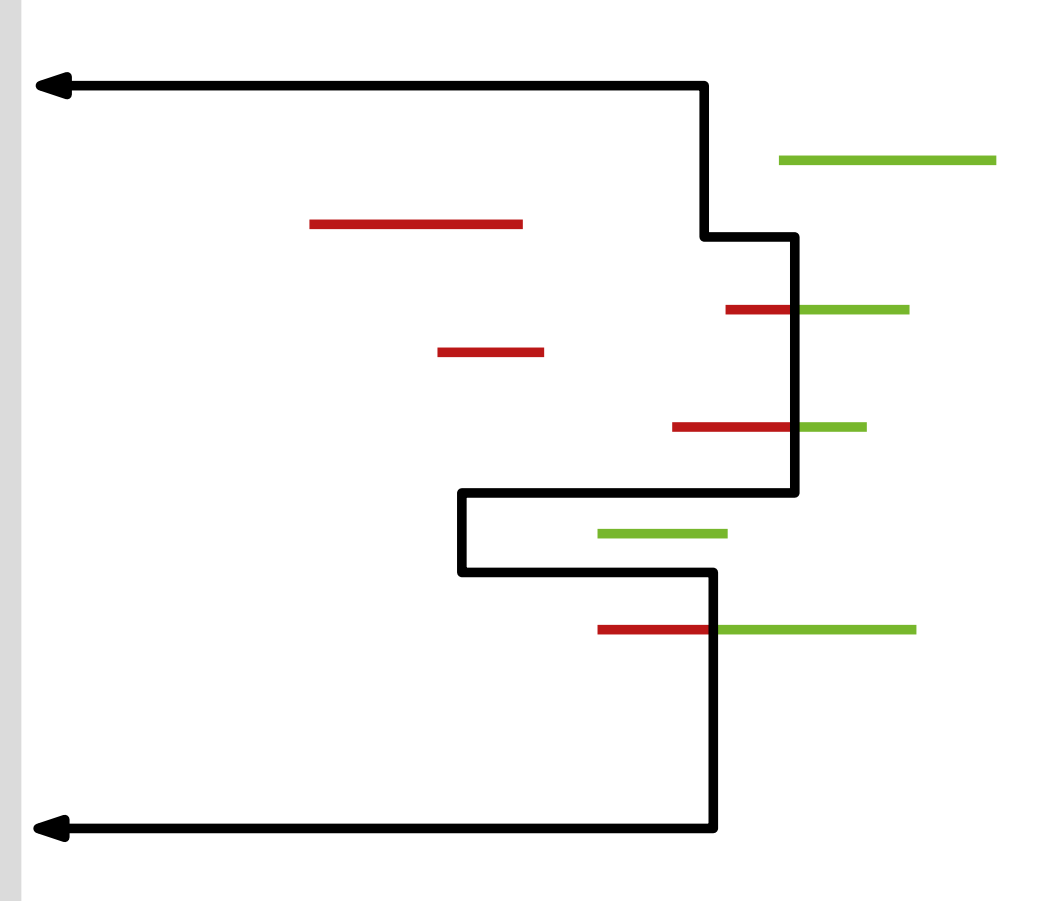


Grenze F als right envelope der platzierten Label

#### Grenze und linkestes Label



Zur Bestimmung des nächsten linkesten Labels genügt es F und die Strecken  $h_{2i-1}, h_{2i}, v_{2i-1}, v_{2i}$  für alle Punkte  $p_i$  rechts von F zu betrachten.

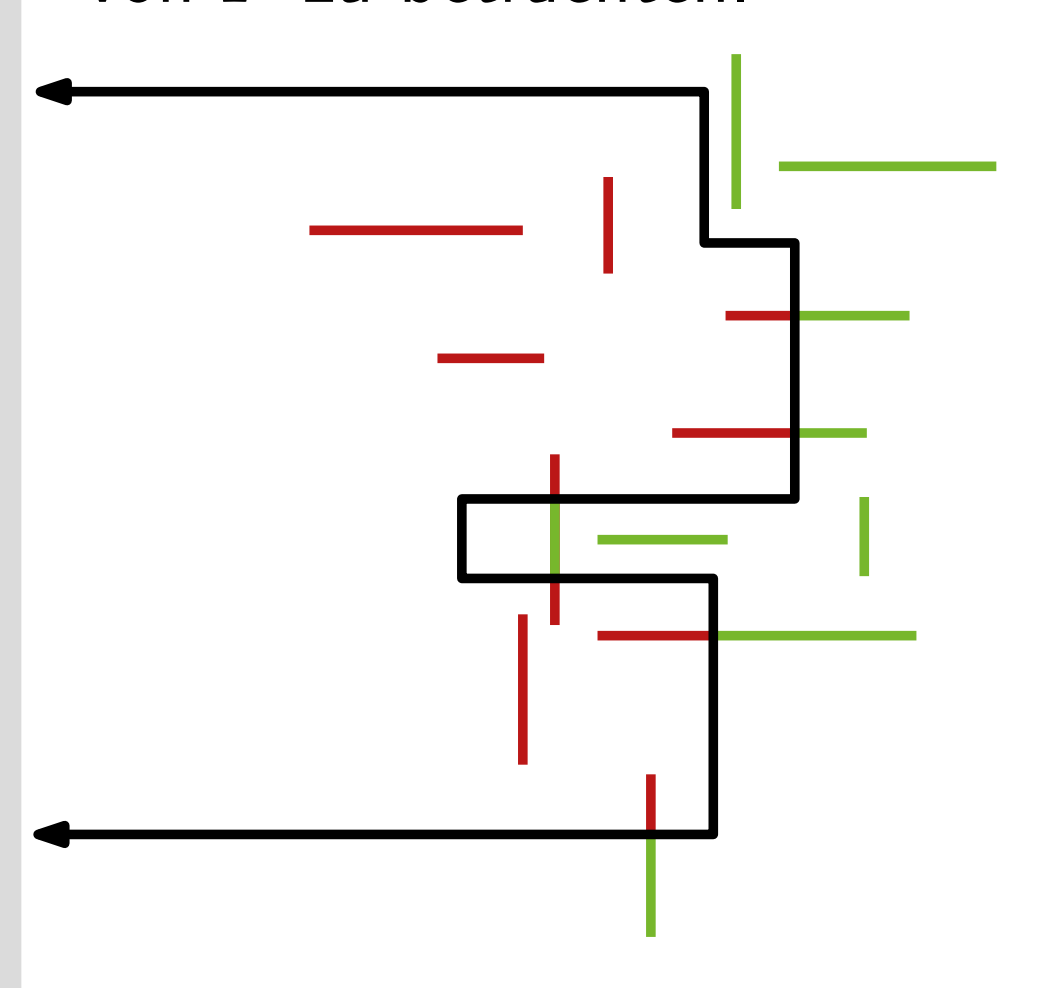


- Menge H der horizontalen Strecken
- ullet Menge V der vertikalen Strecken
- $H_{\mathsf{right}} \subseteq H$ : rechts von F
- $H_{\text{int}} \subseteq H$ : schneiden F

#### Grenze und linkestes Label



Zur Bestimmung des nächsten linkesten Labels genügt es F und die Strecken  $h_{2i-1}, h_{2i}, v_{2i-1}, v_{2i}$  für alle Punkte  $p_i$  rechts von F zu betrachten.

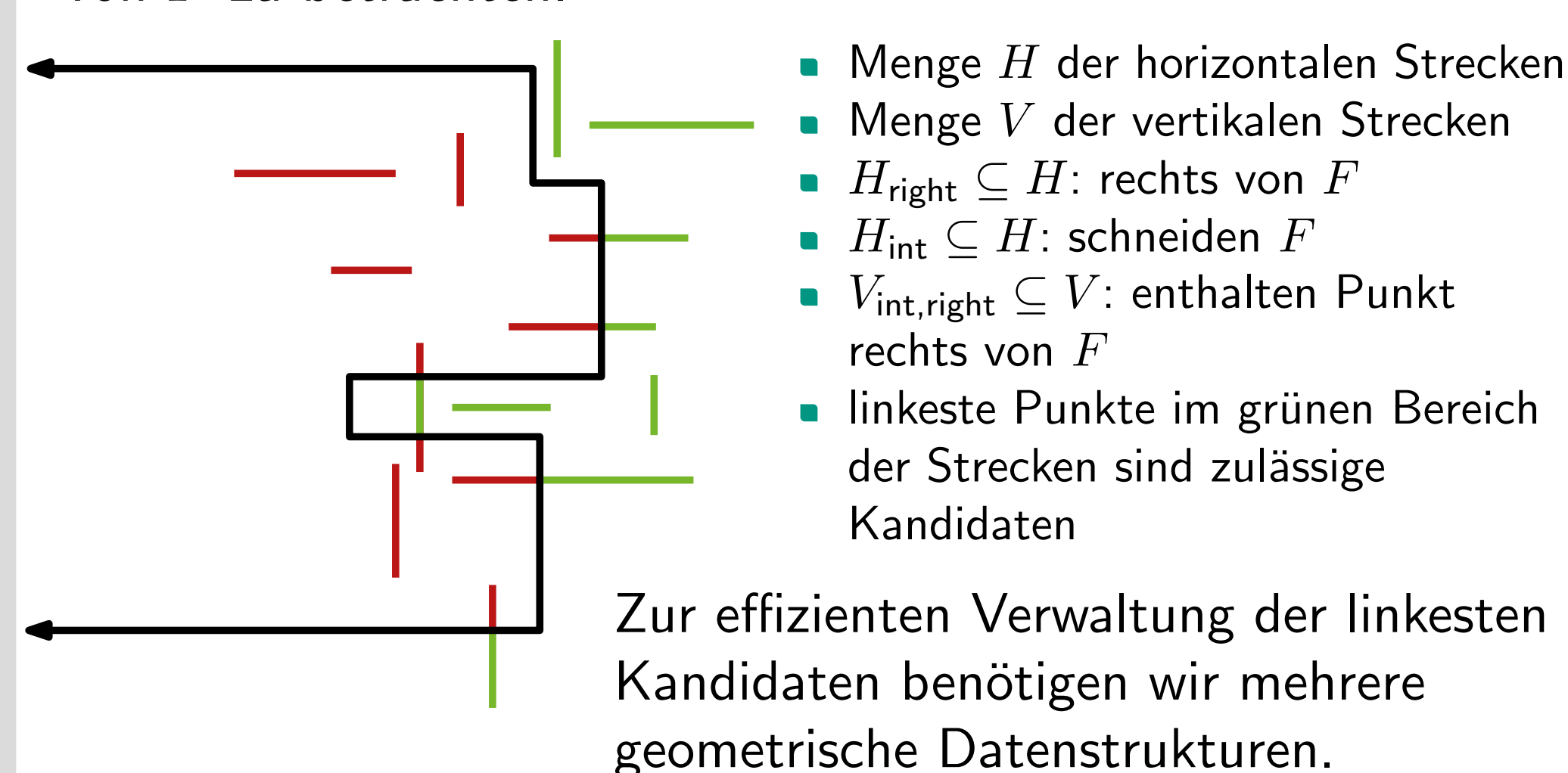


- Menge H der horizontalen Strecken
- ullet Menge V der vertikalen Strecken
- $H_{\mathsf{right}} \subseteq H$ : rechts von F
- $H_{\mathsf{int}} \subseteq H$ : schneiden F
- $V_{\text{int,right}} \subseteq V$ : enthalten Punkt rechts von F
- linkeste Punkte im grünen Bereich der Strecken sind zulässige Kandidaten

#### Grenze und linkestes Label



Zur Bestimmung des nächsten linkesten Labels genügt es F und die Strecken  $h_{2i-1}, h_{2i}, v_{2i-1}, v_{2i}$  für alle Punkte  $p_i$  rechts von F zu betrachten.





#### 1) Red-Black Trees

- ullet selbstbalancierender binärer Suchbaum der Größe O(n)
- Suchen, Einfügen, Löschen, Auftrennen, Konkatenieren in  $O(\log n)$  Zeit



#### 1) Red-Black Trees

- ullet selbstbalancierender binärer Suchbaum der Größe O(n)
- Suchen, Einfügen, Löschen, Auftrennen, Konkatenieren in  $O(\log n)$  Zeit

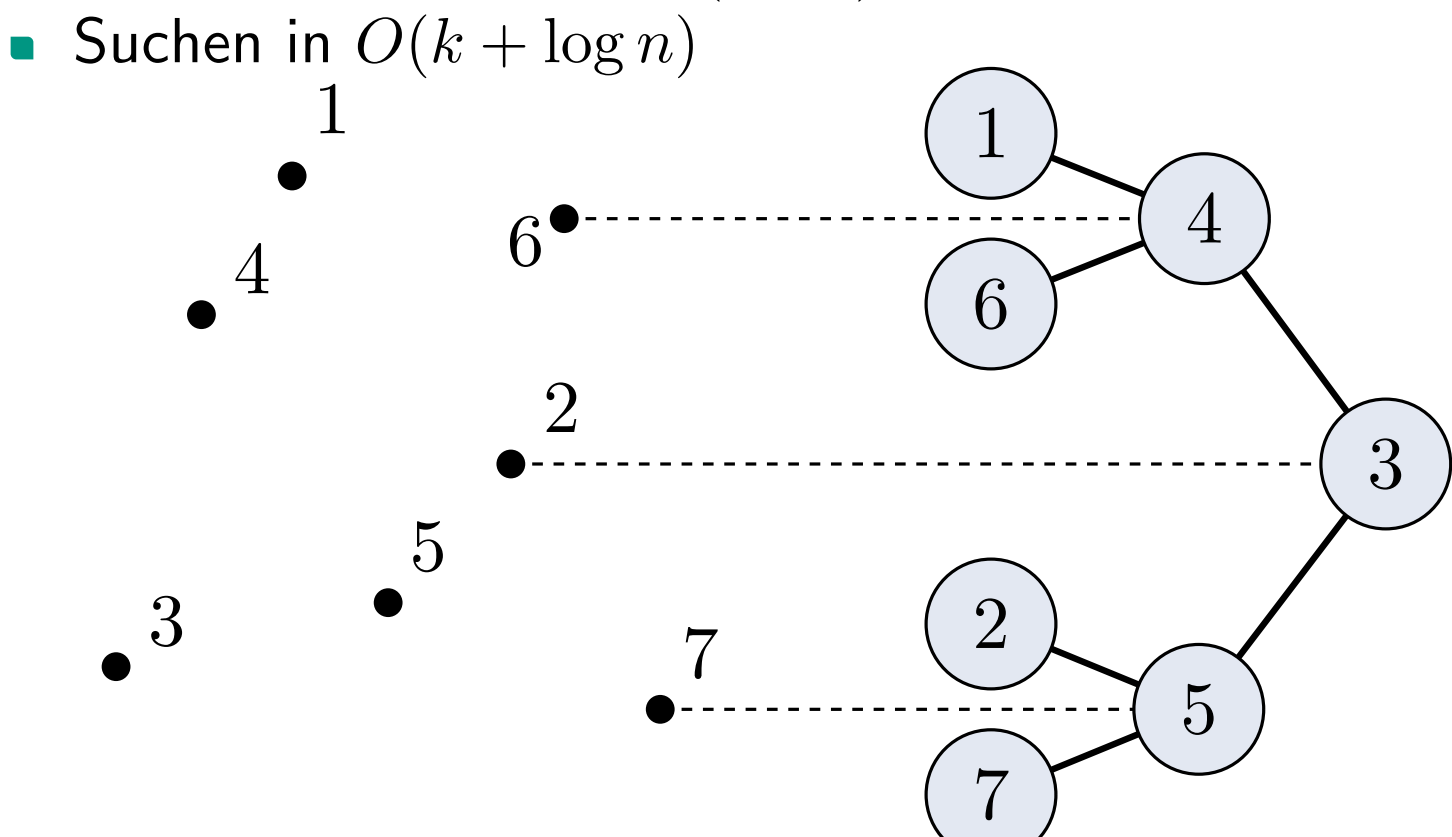
#### 2) Heaps

- baumbasierte Datenstruktur mit heap-Eigenschaft
- $\ker(\mathsf{parent}(A)) \leq \ker(A)$  für alle A
- Größe O(n)
- find-min in O(1)
- delete-min, Einfügen, Löschen in  $O(\log n)$



#### 3) Priority Search Trees

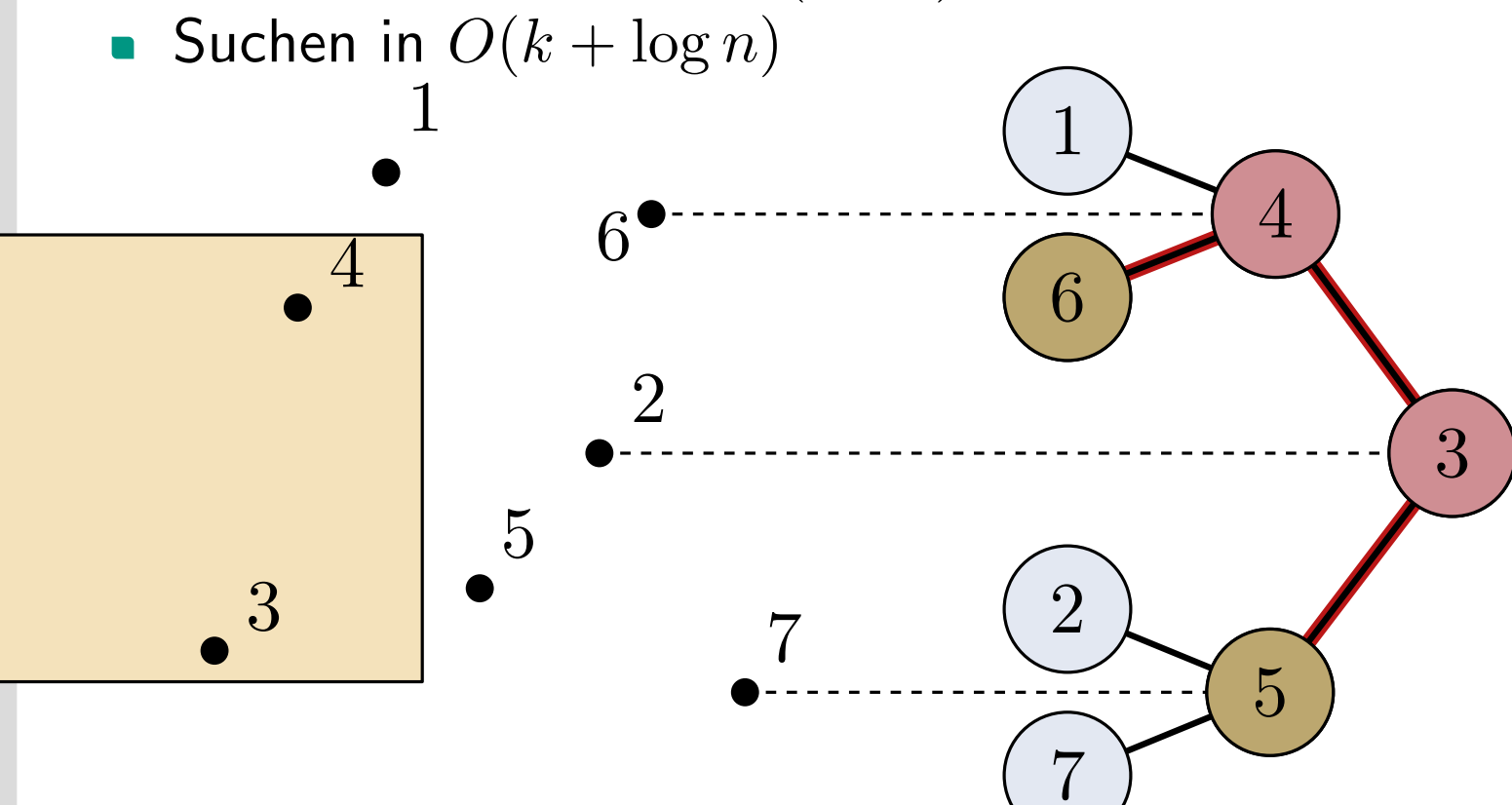
- ullet Datenstruktur für Bereichsabfragen der Form  $[-\infty,x] imes[y,y']$
- Heap-Eigenschaft für x
- Suchbaum für y
- Größe O(n)
- Einfügen, Löschen in  $O(\log n)$





#### 3) Priority Search Trees

- lacktriangle Datenstruktur für Bereichsabfragen der Form  $[-\infty,x] imes[y,y']$
- Heap-Eigenschaft für x
- Suchbaum für y
- Größe O(n)
- Einfügen, Löschen in  $O(\log n)$



#### Horizontale Strecken



### 1) Menge $H_{right}$

- speichere für jede Strecke in  $H_{\rm right}$  deren rechten Endpunkt (= linkest mögliche Position der rechten Labelseite)
- Datenstruktur: min-Heap  $\mathcal{H}_{right}$

#### Horizontale Strecken



### 1) Menge $H_{right}$

- speichere für jede Strecke in  $H_{\rm right}$  deren rechten Endpunkt (= linkest mögliche Position der rechten Labelseite)
- Datenstruktur: min-Heap  $\mathcal{H}_{right}$

### 2) Menge $H_{int}$

- lacktriangle Red-Black Tree  $\mathcal{T}_i$  für jedes vertikale Segment  $f_i$  von F
- speichere Strecken aus  $H_{\text{int}}$ , die  $f_i$  schneiden sortiert nach y-Koordinaten in den Blättern von  $\mathcal{T}_i$
- speichere zusätzlich Labelbreite an jedem Blatt
- an inneren Knoten minimale Labelbreite im Teilbaum
- lacksquare min-Heap  $\mathcal{H}_\mathsf{int}$  für linkestes Label in jedem  $\mathcal{T}_i$

#### Vertikale Strecken



### 3) Menge $V_{\text{int,right}}$

- speichere Obermenge V' mit  $V_{\mathsf{int,right}} \subseteq V'$
- min-Heap  $\mathcal{H}_V$  der Menge V' geordnet nach x-Koordinaten
- falls Minimum in  $\mathcal{H}_V$  nicht in  $V_{\mathsf{int},\mathsf{right}}$  liegt, verwerfe es und wähle nächstes Minimum

#### Vertikale Strecken

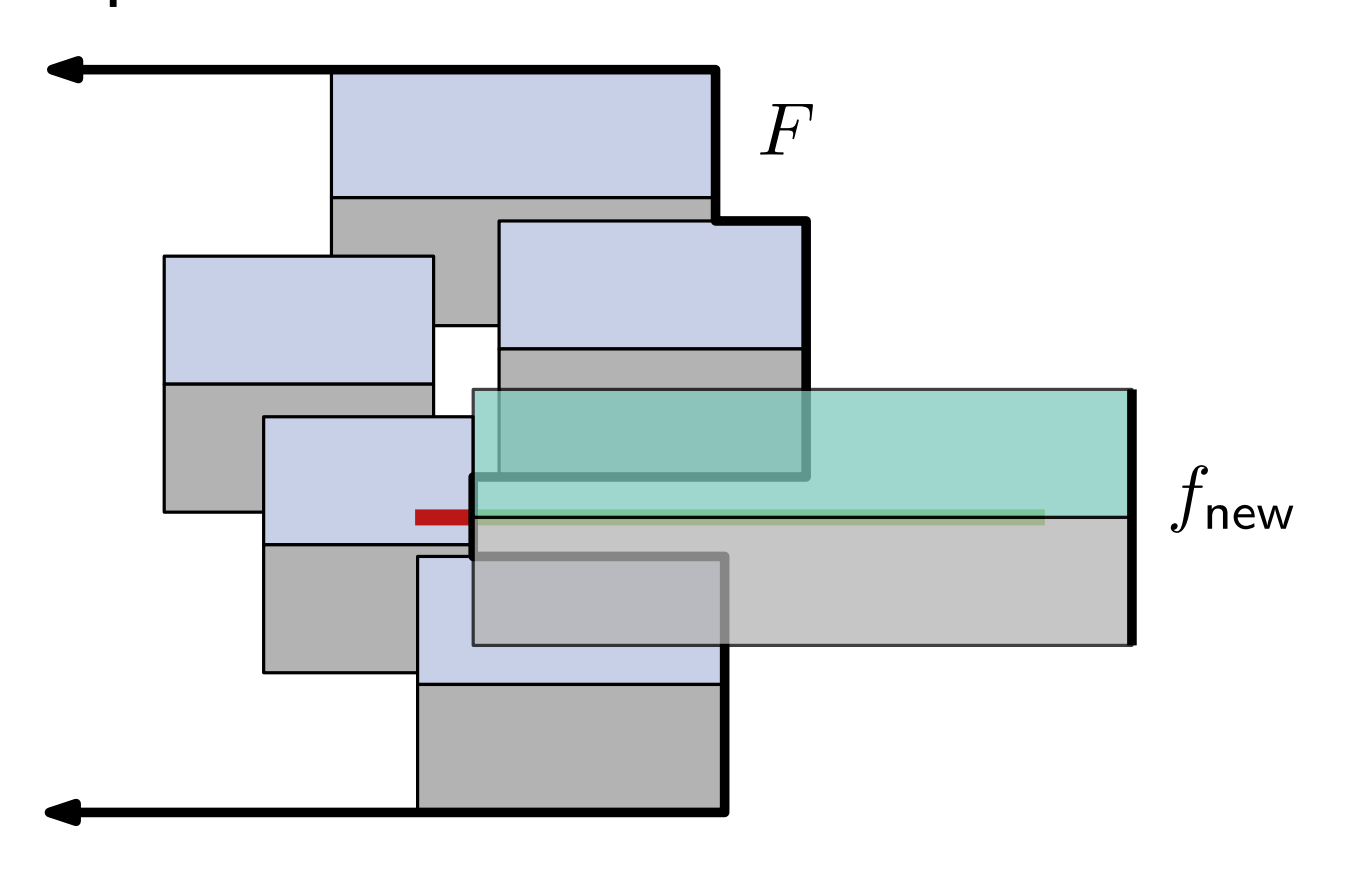


### 3) Menge $V_{\text{int,right}}$

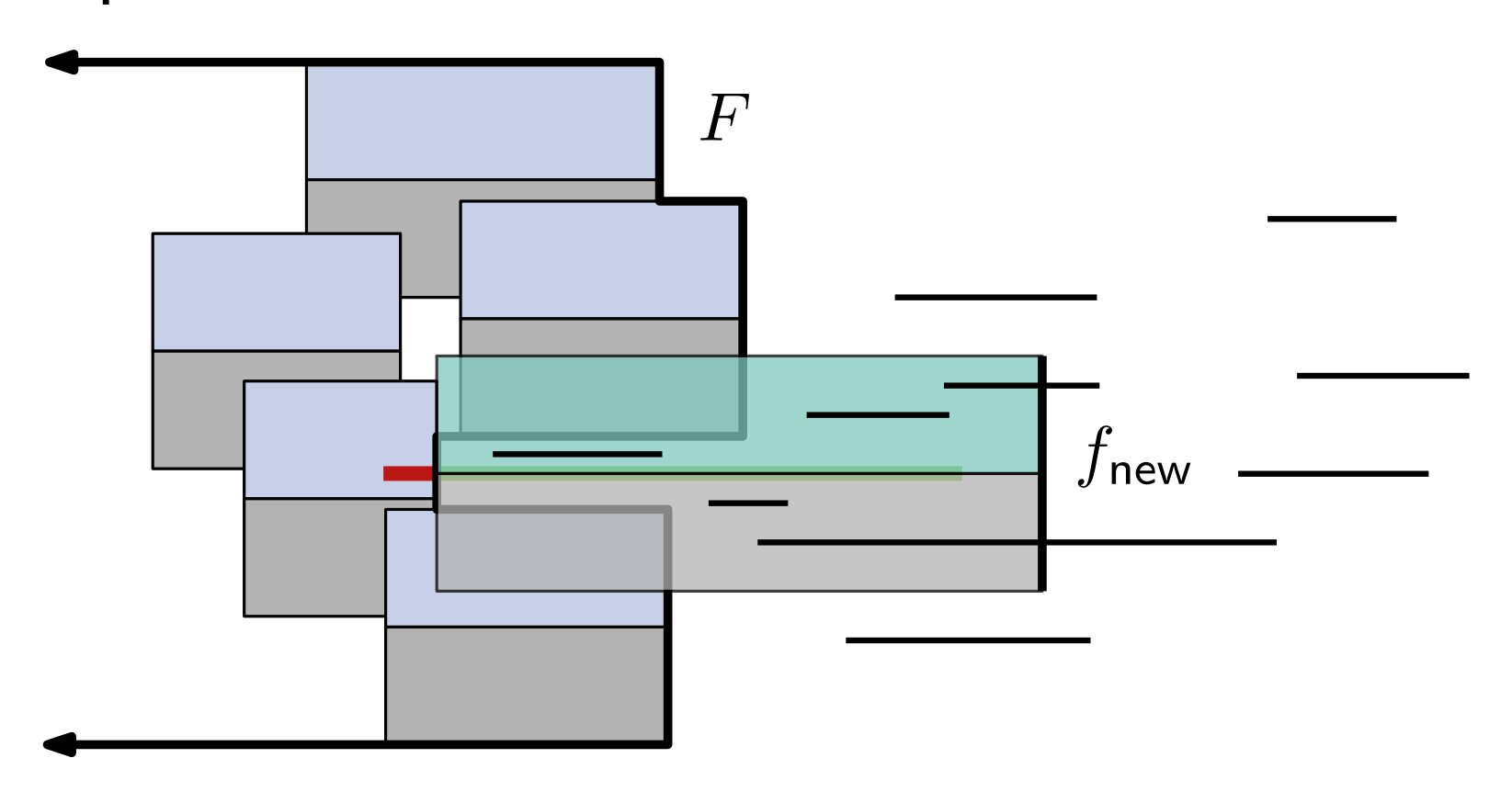
- speichere Obermenge V' mit  $V_{\mathsf{int,right}} \subseteq V'$
- min-Heap  $\mathcal{H}_V$  der Menge V' geordnet nach x-Koordinaten
- falls Minimum in  $\mathcal{H}_V$  nicht in  $V_{\mathsf{int},\mathsf{right}}$  liegt, verwerfe es und wähle nächstes Minimum

Das linkeste Label für den Greedy-Algorithmus ist eines der drei Minima von  $\mathcal{H}_{right}$ ,  $\mathcal{H}_{int}$  und  $\mathcal{H}_{V}$ 



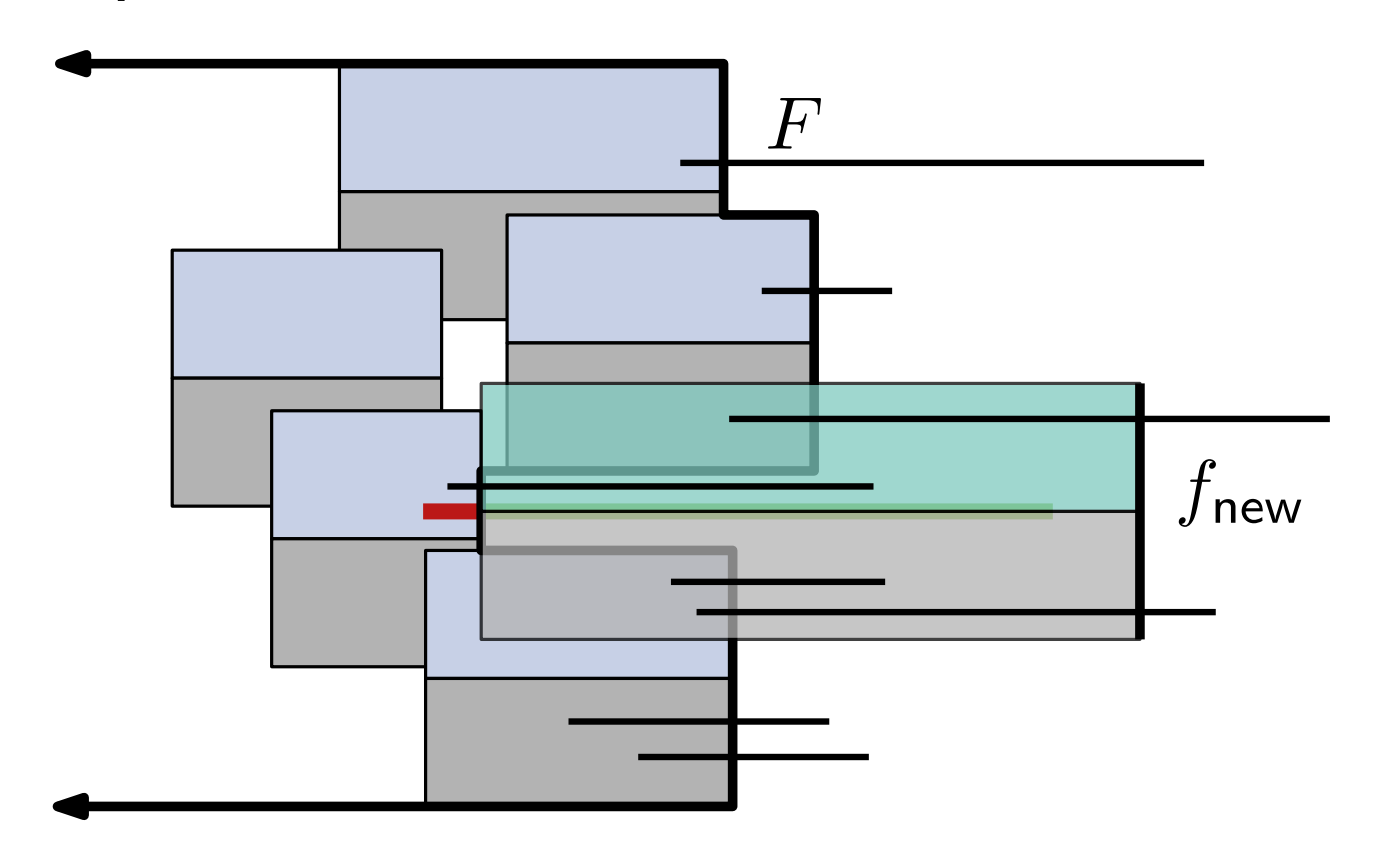






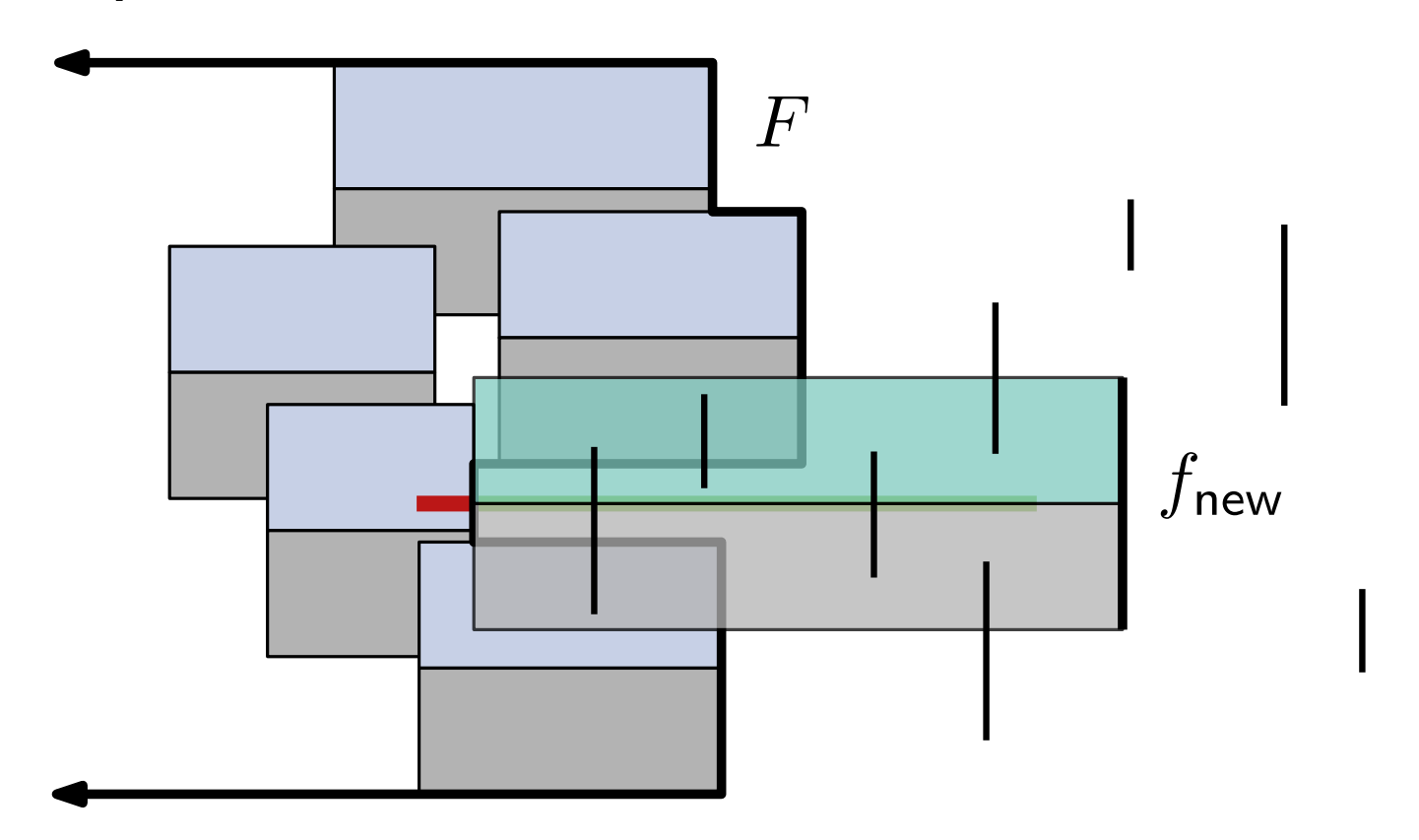
1) Updates von  $H_{\mathsf{right}}$ 





- 1) Updates von  $H_{\mathsf{right}}$
- 2) Updates von  $H_{\rm int}$





- 1) Updates von  $H_{\mathsf{right}}$
- 2) Updates von  $H_{\rm int}$
- 3) Updates von  $V_{\mathsf{int},\mathsf{right}}$  bzw. von V'

### Algorithmus von van Kreveld, Strijk, Wolff



```
while \mathcal{H}_{right}, \mathcal{H}_{int} oder \mathcal{H}_{V} nicht leer do
v \leftarrow \mathsf{find}\text{-}\mathsf{min}(\mathcal{H}_V)
 while v links von F do
       delete-min(\mathcal{H}_V); v \leftarrow \text{find-min}(\mathcal{H}_V)
l_i \leftarrow \text{linkestes Label aus } \mathcal{H}_{\text{right}}, \, \mathcal{H}_{\text{int}} \, \, \text{und} \, \, \mathcal{H}_V
füge l_i zur Beschriftung hinzu
 f_{\text{new}} \leftarrow \text{rechte Kante von } l_i
 update F und \mathcal{T}_V mit f_{\text{new}}
suche mit der Region links von f_{\mathsf{new}} in \mathcal{P}_{\mathsf{left}} und \mathcal{P}_{\mathsf{right}} und update
\mathcal{H}_{right}, \mathcal{P}_{left}, \mathcal{H}_{int}, \mathcal{T}_i's und \mathcal{P}_{right} wie beschrieben
 entferne alle Verweise auf p_i aus den Datenstrukturen
```

### Algorithmus von van Kreveld, Strijk, Wolff



while  $\mathcal{H}_{right}$ ,  $\mathcal{H}_{int}$  oder  $\mathcal{H}_{V}$  nicht leer do  $v \leftarrow \mathsf{find}\text{-}\mathsf{min}(\mathcal{H}_V)$ while v links von F do delete-min( $\mathcal{H}_V$ );  $v \leftarrow \text{find-min}(\mathcal{H}_V)$  $l_i \leftarrow \text{linkestes Label aus } \mathcal{H}_{\text{right}}, \, \mathcal{H}_{\text{int}} \, \, \text{und} \, \, \mathcal{H}_V$ füge  $l_i$  zur Beschriftung hinzu  $f_{\text{new}} \leftarrow \text{rechte Kante von } l_i$ update F und  $\mathcal{T}_V$  mit  $f_{\text{new}}$ suche mit der Region links von  $f_{\text{new}}$  in  $\mathcal{P}_{\text{left}}$  und  $\mathcal{P}_{\text{right}}$  und update  $\mathcal{H}_{right}$ ,  $\mathcal{P}_{left}$ ,  $\mathcal{H}_{int}$ ,  $\mathcal{T}_i$ 's und  $\mathcal{P}_{right}$  wie beschrieben entferne alle Verweise auf  $p_i$  aus den Datenstrukturen

**Satz 2:** Der Algorithmus Greedy4S(P,L) lässt sich mit  $O(n \log n)$  Zeitbedarf und O(n) Platzbedarf implementieren. Die Lösung enthält mindestens halb so viele Label wie die optimale Lösung.

#### Ausblick



Van Kreveld, Strijk und Wolff geben auch ein polynomielles Approximationsschema (PTAS) für das Beschriften im Slider-Modell an.

Für Approximationsgüte  $(1-\varepsilon)$  ist die Laufzeit  $O(n^{4/\varepsilon^2})$ .

#### **Ausblick**



Van Kreveld, Strijk und Wolff geben auch ein polynomielles Approximationsschema (PTAS) für das Beschriften im Slider-Modell an.

Für Approximationsgüte  $(1-\varepsilon)$  ist die Laufzeit  $O(n^{4/\varepsilon^2})$ .

Ähnliche Ergebnisse (NP-vollständig, Approximation, PTAS) gelten auch für fixed-position-Modelle, z.B. (Agarwal et al. '98)

#### **Ausblick**



Van Kreveld, Strijk und Wolff geben auch ein polynomielles Approximationsschema (PTAS) für das Beschriften im Slider-Modell an.

Für Approximationsgüte  $(1-\varepsilon)$  ist die Laufzeit  $O(n^{4/\varepsilon^2})$ .

Ähnliche Ergebnisse (NP-vollständig, Approximation, PTAS) gelten auch für fixed-position-Modelle, z.B. (Agarwal et al. '98)

Slider-Modelle erlauben in realen Instanzen bis zu 15% mehr platzierte Labels als ein 4-Positionen-Modell.